A 辑

短熔体柱的定常轴对称热毛细运动

徐 建 军

(中国科学院力学研究所,北京)

摘 要

本文处理了短熔体柱的定常轴对称热毛细运动。 假定 Marangoni 数 $M \ll 1$,Reynolds 数 $Re \ll 1$ 以及毛细作用数 $\overline{C} \ll 1$ 。 本文求得了级数形式的零级近似分析解,并对两种典型的外加温度分布的情况作出了数值计算。 结果表明了端部效应对热毛细运动的重要影响。

一、引言

早在1900年 Bénard 仔细观察了由于温差引起的对流迴流¹¹. 设想一个从底部加热的流体层. 流体温度的不均匀引起流体密度分布的不均匀,从而在流体内产生一种浮力梯度. 当外加温差不大时,这种浮力被压力梯度所平衡,整个系统将保持稳定的平衡状态. 但是当外加温度增大,并使 Reyleigh 数超过一定临界值时,这种平衡状态便会变得不稳定,流体将发生定常的迴流. 整个流体层将出现一种十分美妙的格子图案. Bénard 曾拍摄记录了这些图案,这就是著名的 Bénard 对流图案. 十六年之后,Rayleigh (1916) 对 Bénard 的实验进行了理论分析^[2],证明这种 Bénard 图案的出现是由于浮力引起的一种不稳定性机制造成的.到了 1958 年,在英国帝国化学国际有限公司研究部油化组工作的 Cousens 博士发现: 一层干燥中的油漆薄层上也常常会出现类似 Bénard 对流图案的现象. 观察并表明,这种图案的出现与重力方向没有多大关系. 因为不管这个油漆层是在天花板上,还是在地板上,自由表面是在层的顶部或是在层的底部,情况都是一样.

显见,这种对流图案不是由前述的那种浮力引起的不稳定性机制造成的,它必然涉及了另一种截然不同的新机制。Cousens 认为这种新机制是由于表面张力引起的。Pearson 在 Cousens 想法的基础上,对问题进行了理论分析^[3]。果然证明: 当存在自由表面的情况下,由于温度变化引起的表面张力梯度,可以驱动流体表面物质运动,然后通过粘性作用造成整个流体内部的涡旋运动。 人们把这种由于温差引起的、由表面张力驱动的流体运动称为热毛细运动或Marangoni 对流迴流,以区别于 Bénard 对流迴流。在实验情况中所遇到的流体层,往往都存在有自由表面。 因此 Pearson 所研究的这种由表面张力决定的运动机制,实际上要比 Bénard,Rayleigh 等人首先研究的由浮力决定的运动机制更为重要。更为有趣的是: Pearson 曾用自己的理论重新检验 Bénard 最初所观察的对流图案实验,居然发现那些实验中出现的对流格子图

本文 1982 年 10 月 23 日收到。

案,大都也是由于表面张力引起的!

在 Pearson 之后,有不少应用数学家及流体力学家相继大力开展了这方面的课题研究[4-8]。 众所周知,在半导体晶体材料制作过程中,广泛采用"区熔法"(见图 1)。在这种工艺中,

晶体培体表面具有显著的温度分布不均 匀性. 在这种问题中,温度梯度与自由 表面切向方向一致. 所以这种外加的温 度梯度将直接引起表面张力梯度,后者 将驱动熔体表面物质运动,并通过粘性 作用造成整个熔体内部的定常迴旋运 动. 研究这种定常的热毛细运动及其稳 定性问题,对理解晶体生长提纯过程中 所出现的、诸如杂质层状分布等现象关 系极大.

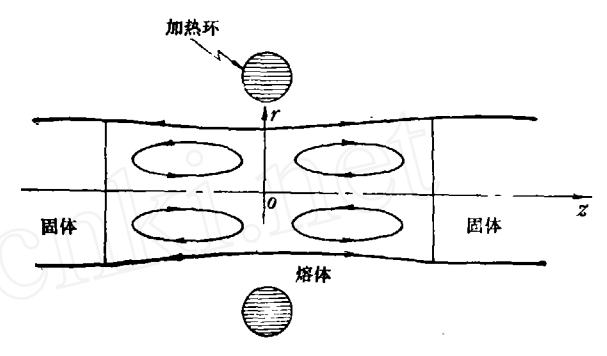


图 1 "区熔法" 过程示意图

本文在处理了 Marangoni 数情况下的定常轴对称热毛细运动。对于两种典型的环境空气温度分布,我们给出了级数形式的分析解。

二、问题的数学提法

选取轴坐标 (r, θ, z) , 如图 1 所示,设固体圆柱半径为 a,熔区长度为 (2b),熔区的环境空气温度分布为 Ta(z),熔体表面的表面张力系数 σ 与熔体表面温度 T 的关系式是:

$$\sigma = \sigma_0 - r(T - T_*). \tag{2.1}$$

引入如下无量纲量

$$\begin{cases}
\bar{r} = \frac{r}{a}, \ \bar{z} = \frac{z}{a}, \ \sigma = \frac{\sigma}{\sigma_0}, \\
\bar{u} = \frac{u}{w_*}, \ \bar{w} = \frac{w}{w_*}, \ \bar{T} = \frac{T - T_*}{\Delta T}, \\
\bar{p} = \frac{p}{\sigma_0/a}
\end{cases} \tag{2.2}$$

其中 $\Delta T = (T_{\text{max}} - T_{\text{min}})$ 为特征温度差,从(2.1),(2.2)式我们可得

$$\bar{\sigma} = 1 - \bar{C}\bar{T},\tag{2.3}$$

$$\bar{C} = \frac{r\Delta T}{\sigma_0}.$$
 (2.4)

作为特征速度 w_* ,考虑到流体运动是由于表面张力梯度驱动的。 表面张力梯度应与表面粘性切向应力相平衡,因此有

$$\frac{\mu w_*}{\sigma} \sim \frac{\Delta \sigma}{\sigma} = \frac{r \Delta T}{\sigma}.$$
 (2.5)

这样,我们推出(参看文献[9])

$$w_* = \frac{r\Delta T}{\mu} = \frac{\sigma_0 \bar{C}}{\mu},\tag{2.6}$$

流动雷诺数是

$$R_{e} = \frac{\rho w_{*} a}{\mu} = \frac{\rho \sigma_{0} a}{\mu^{2}} \overline{C}$$
 (2.7)

以及 Marangoni 数是

$$M = R_c P_r = \frac{\rho w_* a}{K}, \qquad (2.8)$$

其中P,为 Prandtl 数,K是热扩散系数。

我们再假定熔体为不可压,粘件牛顿流体没有任何体积力作用,利用上述各无量纲量可导 出如下无量纲基本方程(如方便起见,略去所有变量的上标"一")

$$\left(\frac{\partial(ru)}{\partial r} + \frac{\partial(rw)}{\partial z} = 0,\right) \tag{2.9}$$

$$\begin{bmatrix}
\bar{R}_{e}\bar{C} \left[u \frac{\partial u}{\partial r} + w \frac{\partial u}{\partial z} \right] = -\frac{1}{\bar{C}} \frac{\partial p}{\partial r} + \nabla^{2}u - \frac{u}{r^{2}}, \\
\bar{R}_{e}\bar{C} \left[u \frac{\partial w}{\partial r} + w \frac{\partial w}{\partial z} \right] = -\frac{1}{\bar{C}} \frac{\partial p}{\partial z} + \nabla^{2}w,
\end{cases} (2.10)$$

$$\overline{R}_{e}\overline{C}\left[u\frac{\partial w}{\partial r}+w\frac{\partial w}{\partial z}\right]=-\frac{1}{\overline{C}}\frac{\partial p}{\partial z}+\nabla^{2}w,\qquad(2.11)$$

$$\overline{M}\overline{C}\left[u\frac{\partial T}{\partial r}+w\frac{\partial T}{\partial z}\right]=\nabla^2T,\qquad(2.12)$$

其中设

$$\begin{cases} R_{\epsilon} = \bar{R}_{\epsilon}\bar{C}, & M = \bar{M}\bar{C}, \\ \nabla^{2} = \frac{\partial^{2}}{\partial z^{2}} + \frac{\partial^{2}}{\partial r^{2}} + \frac{1}{r}\frac{\partial}{\partial r}. \end{cases}$$
 (2.13)

相应的无量纲边条件是:

设无量纲表面形状函数 R(z)。这样当 1.表面条件

$$r = R(z), |z| \leqslant b_0 = \frac{b}{a}$$
 $\exists t$

(1) 运动学条件:

$$u = \left(\frac{dR}{dz}\right)w. \tag{2.14}$$

(2) 法向应力平衡条件:

$$-p + \frac{\partial}{N_n^2} \, \bar{c} \left[\frac{\partial u}{\partial r} + \left(\frac{dR}{dz} \right) \left(\frac{\partial w}{\partial r} + \frac{\partial u}{\partial z} \right) + \left(\frac{dR}{dz} \right)^2 \frac{dw}{dz} \right] = K(1 - \bar{c}T). \quad (2.15)$$

(3) 切向应力平衡条件:

$$\frac{1}{N_n} \left\{ \left(\frac{\partial w}{\partial r} + \frac{\partial u}{\partial z} \right) \left[1 - \left(\frac{dR}{dz} \right)^2 \right] + 2 \left(\frac{dR}{dz} \right) \left(\frac{\partial u}{\partial r} - \frac{\partial w}{\partial z} \right) \right\}$$

$$= - \left(\frac{\partial T}{\partial z} + \frac{dR}{dz} \frac{\partial T}{\partial r} \right). \tag{2.16}$$

(4) 表面热流平衡条件:

$$\frac{1}{N_n} \left(\frac{\partial T}{\partial r} - \frac{dR}{dz} \frac{\partial T}{\partial z} \right) + L(T - T_a(z)) = 0, \qquad (2.17)$$

其中

$$N_{\pi} = \left[1 + \left(\frac{dR}{dz}\right)^2\right]^{1/2},\tag{2.18}$$

$$K = \frac{R''}{(1 + R'^2)^{3/2}} - \frac{1}{R(1 + R'^2)^{1/2}},$$
 (2.19)

$$L = k_g a / k_l. \tag{2.20}$$

K为无量纲表面曲率, k_1 , k_2 分别为流体与空气的热传导系数,L为 Biot 数。

2. 端部条件 当 $z = \pm b_0$, $0 \leq r < R_b$,

$$\int R = R_b(\pm b_0), \tag{2.21}$$

$$T = T_a(\pm b_0) \tag{2.22}$$

$$\begin{cases} T = T_a(\pm b_0) \\ u = 0, \end{cases}$$
 (2.22)

$$\nu = 0. \tag{2.24}$$

3. 物质守恒条件:

$$Q = 2\pi \int_{0}^{R} rwdr = 0; \quad V = \pi \int_{-b_{0}}^{b_{0}} R^{2}dz. \tag{2.25}$$

三、小 Marangoni 数条件下的零级近似方程与边界条件

我们假设,参数 $\bar{c} \ll 1$. 这符合大多数实际情况,这表明熔体的平均表面张力 σ_0 十分大. 此外进一步假定,流动 Marangoni 数 $M = O(\bar{c})$ 很小,对于液体,由于 Prandtl 数 $P_r > 1$,所 以这时总有 $R_{\epsilon} = O(\bar{c}) \ll 1$. 这样,再引入假设:

$$\bar{C} \ll 1, \quad \bar{M} = O(1), \quad \bar{R}_e = O(1).$$
 (3.1)

注意到,当 $\bar{c} = 0$ 时,存在一个恒温的平衡态:

$$R = R_0(z), \quad p = p_E = -K_0.$$
 (3.2)

我们作如下级数展开

$$T = T_0 + \overline{C}T_1 + \overline{C}^2T_2 + \cdots, \qquad (3.3)$$

$$R = R_0 + \overline{C}R_1 + \overline{C}^2R_2 + \cdots, \qquad (3.4)$$

$$p = p_E + \overline{C}p_0 + \overline{C}^2p_1 + \cdots, \qquad (3.5)$$

$$u = u_0 + \overline{C}u_1 + \overline{C}^2u_2 + \cdots, \qquad (3.6)$$

$$w = w_0 + \bar{C}w_1 + \cdots, \qquad (3.7)$$

$$K = K_0 + \overline{C}K_1 + \cdots, \tag{3.8}$$

$$N_n = N_{n_0} + \bar{C}N_{n_1} + \cdots \qquad (3.9)$$

把上述展开式代入方程(2.9)-(2.12),以及各边界条件(2.14)-(2.25),可得到各级近似方程 与边界条件,作为首项的零级近似解,应满足如下基本方程

$$div\vec{u}_0 = 0, \quad \vec{u}_0 = (u_0, w_0),$$
 (3.10)

$$(0)$$
 (3.10) $\nabla P_0 = \nabla^2 \vec{u}_0,$ (3.11) $\nabla^2 T_0 = 0.$ (3.12)

$$\nabla^2 T_0 = 0. ag{3.12}$$

至于边界条件,我们假定平衡态的表面形状是圆柱形,因此

$$R_0(z) \equiv 1, \quad K_0 = -1.$$
 (3.13)

在这种情况下

1. 表面边界条件为: 当 r = 1, $|z| ≤ b_0$ 时,

$$u_0 = 0, (3.14)$$

(2)
$$-p_0 + 2\left(\frac{\partial u_0}{\partial r}\right) = T_0(1, z) + R_1'' + R_1, \qquad (3.15)$$

$$\frac{\partial w_0}{\partial r} + \frac{\partial u_0}{\partial z} = -\frac{\partial T_0}{\partial z},\tag{3.16}$$

(4)
$$\frac{\partial T_0}{\partial r} + L(T_0 - T_a(z)) = 0. \tag{3.17}$$

2. 端部条件: 当z - ±b₀ 时,

$$(1) R_1 = 0, (3.18)$$

(2)
$$T_0 = T_a(\pm b_0),$$
 (3.19)

$$u_0 = 0, (3.20)$$

$$w_0 = 0. (3.21)$$

3. 守恒条件

$$\int_0^1 r w_0 dr = \frac{Q}{2\pi} = 0, \qquad (3.22)$$

$$\int_{-b_0}^{b_0} R_1 dz = 0. ag{3.23}$$

四、零级近似方程的基本解

现在,我们来求解方程(3.10)—(3.12)。为方便起见,以后略去下标"0"。把流函数 $\phi(r)$ 2) 表为:

$$\psi = r \frac{\partial f}{\partial r}.$$
 (4.1)

因此

$$\begin{cases} u = \frac{\partial^2 f}{\partial r \partial z}, \\ w = -\frac{1}{r} \frac{\partial}{\partial r} \left(r \frac{\partial f}{\partial r} \right). \end{cases}$$
 (4.2)

注意到 LapLace 算子 ♥² 有如下性质

$$\begin{cases} \nabla^2 \left(\frac{\partial}{\partial r} \right) = \frac{\partial}{\partial r} \left(\nabla^2 \right) + \frac{1}{r^2} \frac{\partial}{\partial r}, \\ \nabla^2 \left(\frac{\partial}{\partial r} \right) = \frac{\partial}{\partial r} \left(\nabla^2 \right). \end{cases} \tag{4.4}$$

$$\left[\nabla^2 \left(\frac{\partial}{\partial z}\right) = \frac{\partial}{\partial z} \left(\nabla^2\right). \tag{4.5}\right]$$

可把方程(3.11)化为:

$$\frac{\partial p}{\partial r} = \frac{\partial}{\partial r} \left\{ \nabla^2 \left(\frac{\partial f}{\partial z} \right) \right\},\tag{4.6}$$

$$\frac{\partial p}{\partial z} = \frac{\partial}{\partial z} \left\{ \nabla^2 \left(\frac{\partial f}{\partial z} \right) \right\} - \nabla^4 f \tag{4.7}$$

或者写为

$$\nabla p = \nabla \left\{ \nabla^2 \left(\frac{\partial f}{\partial z} \right) \right\} - (\nabla^4 f) \hat{e}_z, \tag{4.8}$$

其中 êz 为 z 轴的方向向量。由上式,即得到

$$\left(\nabla^2 \left(\frac{\partial f}{\partial z}\right) - p = F, \tag{4.9}\right)$$

$$\begin{cases} \nabla^2 \left(\frac{\partial f}{\partial z} \right) - p = F, \\ \frac{\partial F}{\partial r} = \frac{\partial F}{\partial \theta} = 0, \\ \frac{\partial F}{\partial z} = \nabla^4 f. \end{cases}$$
(4.9)

$$\left|\frac{\partial F}{\partial z} = \nabla^4 f.\right| \tag{4.11}$$

从(4.1)式看出,函数f可以增加任意常函数项 $F_*(z)$,而不影响流函数 $\phi(r,z)$,因此,从 (4.9)一(4.11)式,可设

$$\nabla^4 f = 0 \tag{4.12}$$

和

$$p = \nabla^2 \left(\frac{\partial f}{\partial z} \right) = \frac{\partial^3 f}{\partial z^3} - \frac{\partial w}{\partial z}. \tag{4.13}$$

双调和函数(4.12)式可以有如下形式的基本解:

$$\begin{cases} f_s^{(1)} = J_0(\lambda r) \{ E \operatorname{ch}(\lambda z) + Dz \operatorname{sh}(\lambda z) \}, \\ f_a^{(1)} = J_0(\lambda r) \{ Ez \operatorname{ch}(\lambda z) + D \operatorname{sh}(\lambda z) \}, \\ f_r^{(2)} = \cos(\beta z) \{ AI_0(\beta r) + BrI_1(\beta r) \}, \\ f_a^{(2)} = \sin(\beta z) \{ AI_0(\beta r) + BrI_1(\beta r) \}, \end{cases}$$
(4.14)

$$f_B(r,z) = \frac{g_0}{24} \left(z^4 - \frac{3}{8} r^4 \right) + \frac{1}{2} \left(g_2 z^2 + \frac{h_0}{2} r^2 \right) + \frac{g_1}{6} z^3 + g_3 z + g_4. \tag{4.15}$$

这里下标 "a" 表示该解相对 z=0 平面反对称,下标 "s" 表示解对 z=0 平面对称。

有了解 f(r,z) 之后,利用(4.1),(4.2),(4.13)式很容易推出

$$u_{i}^{(1)} = -\lambda J_{1}(\lambda r)[(E\lambda + D) \operatorname{sh}(\lambda z) + D\lambda z \operatorname{ch}(\lambda z)],$$

$$u_{a}^{(1)} = -\lambda J_{1}(\lambda r)[(E\lambda + D) \operatorname{ch}(\lambda z) + E\lambda z \operatorname{sh}(\lambda z)],$$

$$u_{i}^{(2)} = -\beta^{2} \sin(\beta z)[AI_{1}(\beta r) + BrI_{0}(\beta r)],$$

$$u_{a}^{(2)} = \beta^{2} \cos(\beta z)[AI_{1}(\beta r) + BrI_{0}(\beta r)],$$

$$w_{i}^{(1)} = \lambda^{2} J_{0}(\lambda r)[E \operatorname{ch}(\lambda z) + Dz \operatorname{sh}(\lambda z)],$$

$$w_{a}^{(1)} = \lambda^{2} J_{0}(\lambda r)[Ez \operatorname{ch}(\lambda z) + D \operatorname{sh}(\lambda z)],$$

$$w_{i}^{(2)} = -\beta \cos(\beta z)[(2B + \beta A)I_{0}(\beta r) + B\beta rI_{1}(\beta r)],$$

$$w_{a}^{(2)} = -\beta \sin(\beta z)[(A\beta + 2B)I_{0}(\beta r) + B\beta rI_{1}(\beta r)],$$

$$p_{i}^{(1)} = 2D\lambda^{2} \operatorname{sh}(\lambda z)J_{0}(\lambda r), p_{a}^{(1)} = 2E\lambda^{2} \operatorname{ch}(\lambda z)J_{0}(\lambda r),$$

$$p_{i}^{(2)} = -2B\beta^{2} \sin(\beta z)I_{0}(\beta r), p_{a}^{(2)} = 2B\beta^{2} \cos(\beta z)I_{0}(\beta r)$$

以及

$$u_B = 0$$
, $w_B = \frac{1}{4} g_0 r^2 - h_0$, $p_B = g_0 z + g_1$. (4.17)

此外,从方程(3.12),可解出解

$$T(r,z) = T_1 + T_2 + T_3,$$
 (4.18)

$$\begin{cases} T_{s} = M \operatorname{ch}(\hat{\lambda}z)J_{0}(\hat{\lambda}r) + N\cos(\hat{\beta}z)I_{0}(\hat{\beta}r), \\ T_{a} = M \operatorname{sh}(\hat{\lambda}z)J_{0}(\hat{\lambda}r) + N\sin(\hat{\beta}z)I_{0}(\hat{\beta}r), \\ T_{B} = \hat{\mathbf{g}}_{1}z + \hat{\mathbf{g}}_{2} + \frac{1}{2}\hat{\mathbf{g}}_{0}\left(z^{2} - \frac{r^{2}}{2}\right). \end{cases}$$

$$(4.19)$$

在上述各种解中, $\{A, B, D, E, \lambda, \beta, M, N, \hat{\lambda}, \hat{\beta}, g_0, g_1, h_0, \hat{g}_0, \hat{g}_1, \hat{g}_2\}$ 是任意常数,这些常数将根据具体情况下的边界条件来确定。

五、特例 I: $T_a(z) = -Az$

下面将讨论几种典型情形。首先假定环境温度是 z 的反对称函数,亦即

$$T_a(z) = -Az. (5.1)$$

这种情形可视为"半熔区"的一个简化模型。

从边界条件(3.17),可推出:

$$T = -Az. (5.2)$$

另一方面,取

$$\begin{cases} f = f_s^{(1)} + f_B, & u = u_s^{(1)} + u_B, \\ w = w_s^{(1)} + w_B, & p = p_s^{(1)} + p_B, \end{cases}$$
 (5.3)

利用边界条件(3.14)式,可推出:

$$J_1(\lambda) = 0, \quad \lambda = \lambda_n \quad (n = 1, 2, \dots)$$
 (5.4)

以及

$$(E_n \lambda_n + D_n) \operatorname{sh} (\lambda_n b_0) + D_n \lambda_n b_0 \operatorname{ch} (\lambda_n b_0) = 0,$$
(5.5)

或

$$E_n = -\frac{D_n}{\lambda_n} \left[1 + b_0 \lambda_n \coth\left(\lambda_n b_0\right) \right]. \tag{5.6}$$

这样,可把解 u, w, 表为如下级数形式

$$u(r,z) = -\sum_{n=1}^{\infty} \lambda_n J_1(\lambda_n r) \{ (E_n \lambda_n + D_n) \operatorname{sh} (\lambda_n z) + D_n \lambda_n z \operatorname{ch} (\lambda_n z) \}.$$
 (5.7)

$$w(r, z) = \frac{g_0}{4} r^2 - h_0 + \sum_{n=1}^{\infty} \lambda_n^2 J_0(\lambda_n r) \{ E_n \operatorname{ch}(\lambda_n z) + D_n z \operatorname{sh}(\lambda_n z) \}.$$
 (5.8)

再利用边界条件(3.16)式,有

$$\left(\frac{\partial w}{\partial r} + \frac{\partial u}{\partial z}\right)_{r=1} = \left(\frac{\partial w}{\partial r}\right)_{r=1} = -\left(\frac{\partial T}{\partial z}\right)_{r=1} = A. \tag{5.9}$$

从而推得

$$g_0 = 2A. \tag{5.10}$$

另外,利用条件 $w_0 = 0$, 还得到

$$-\frac{A}{2}r^{2}+h_{0}=\sum_{n=1}^{\infty}\lambda_{n}^{2}J_{0}(\lambda_{n}r)\{E_{n}\operatorname{ch}(\lambda_{n}b_{0})+D_{n}b_{0}\operatorname{sh}(\lambda_{n}b_{0})\}.$$
 (5.11)

由于 $\{J_0(\lambda_n r)\}$ 函数族的如下正交特性

$$\int_{0}^{1} r J_{0}(\lambda_{n} r) J_{0}(\lambda_{n} r) dr = \begin{cases} 0, & m \neq n, \\ \frac{1}{2} J_{0}^{2}(\lambda_{n}), & m = n. \end{cases}$$
 (5.12)

1983 年

$$\int_0^1 r J_0(\lambda_n r) dr = 0. \tag{5.13}$$

从(5.11)及(5.6)式,导出:

$$D_{n} = \frac{AQ_{n}}{\lambda_{n}J_{0}^{2}(\lambda_{n})} \{\lambda_{n}b_{0} \operatorname{sh}(\lambda_{n}b_{0}) - [1 + \lambda_{n}b_{0} \operatorname{cth}(\lambda_{n}b_{0})] \operatorname{ch}(\lambda_{n}b_{0})\}^{-1},$$
 (5.14)

$$Q_n = \int_0^1 r^3 J_0(\lambda_n r) dr = -\frac{2J_2(\lambda_n)}{\lambda_n^2} - \frac{2J_0(\lambda_n)}{\lambda_n^2}.$$
 (5.15)

再根据物质流守恒条件(3.22)式,由(5.11)式还可得出

$$\int_{0}^{1} \left(\frac{A}{2}r^{3} - h_{0}r\right) dr = 0, \quad h_{0} = \frac{A}{4}.$$
 (5.16)

这样我们解出

$$w = \left(\frac{r^2}{2} - \frac{1}{4}\right) A + \sum_{n=1}^{\infty} \lambda_n^2 J_0(\lambda_n r) [E_n \operatorname{ch}(\lambda_n z) + D_n z \operatorname{sh}(\lambda_n z)], \qquad (5.17)$$

$$p = p_s^{(1)} + p_B = 2Az + g_1 + 2\sum_{n=1}^{\infty} \lambda_n^2 D_n \operatorname{sh}(\lambda_n z) J_0(\lambda_n z)$$
 (5.18)

以及流函数

$$\phi = -\int_{0}^{r} r_{1} w(r_{1}, z) dr_{1} = \frac{A r^{2}}{8} (1 - r^{2}) - \sum_{n=1}^{\infty} \lambda_{n} r J_{1}(\lambda_{n} r) [E_{n} \operatorname{ch}(\lambda_{n} z) + D_{n} \operatorname{sch}(\lambda_{n} z)].$$
(5.19)

最后,我们考察对表面形状的修正,为此利用表面条件(3.15)式

$$R_1'' + R_1 = \left\{ -p + 2\left(\frac{\partial u}{\partial r}\right) + Az \right\}_{r=1}.$$
 (5.20)

将(5.7),(5.18)式代入上式,推得:

$$L_{2}\{R_{1}\} = R_{1}^{"} + R_{1} = H(z) - g_{1} - Az, \qquad (5.21)$$

其中

$$H(z) = -2 \sum_{n=1}^{\infty} D_n \lambda_n^2 J_0(\lambda_n) \{ \lambda_n z \operatorname{ch}(\lambda_n z) + [1 - \lambda_n b_0 \operatorname{cth}(\lambda_n z_0)] \operatorname{sh}(\lambda_n z) \}.$$
 (5.22)

由(5.21)式,可解出:

$$R_1(z) = -Az - g_1 + \Theta_1 \cos z + \Theta_2 \sin z + R_*(z), \tag{5.23}$$

其中

$$R_{*}(z) = 2 \sum_{n=1}^{\infty} D_{n} J_{0}(\lambda_{n}) \frac{\lambda_{n}^{2}}{1 + \lambda_{n}^{2}} \left\{ \left[\frac{\lambda_{n}^{2} - 1}{\lambda_{n}^{2} + 1} + \lambda_{n} b_{0} \operatorname{cth}(\lambda_{n} b_{0}) \right] \operatorname{sh}(\lambda_{n} b_{0}) - \lambda_{n} z \operatorname{ch}(\lambda_{n} z) \right\}.$$

$$(5.24)$$

假定 $b_0 < \pi$ (注意: $b_0 = n\pi$ 是圆柱形液体柱的解的分歧点),由边界条件 (3.8),(3.13) 式推出:

$$\Theta_1 = g_1 = 0, \quad \Theta_2 = \frac{1}{\sin b_0} \left[Ab_0 - R_*(b_0) \right].$$
 (5.25)

因此

$$R_1(z) = -Az + Ab_0 \frac{\sin z}{\sin b_0} - \frac{\sin z}{\sin b_0} R_*(b_0) + R_*(z). \tag{5.26}$$

在图 2(a), (b) 中分别给出了 $A = b_0^{-1}$, $b_0 = 0.5$, 2.5 的流线分布图.

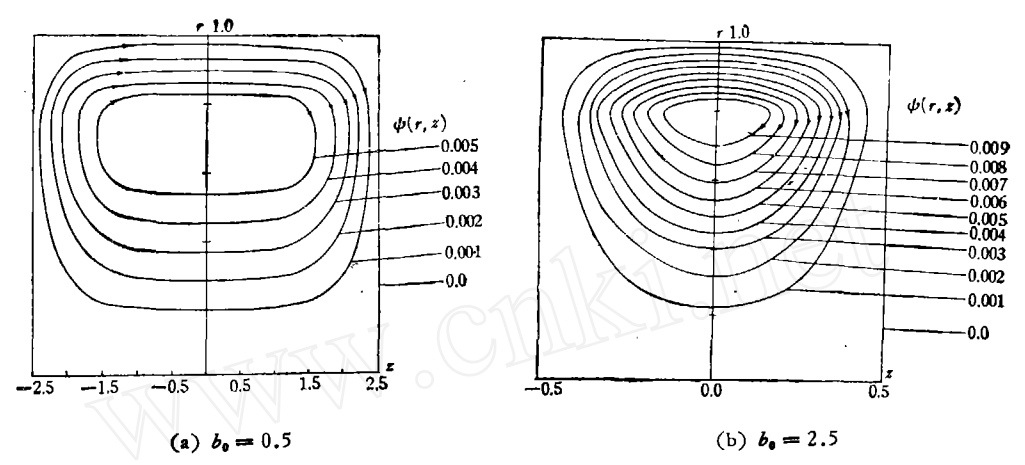


图 2 特例 1 的流线图

六、特例 II, $T_a = 1/2 - 4A^2z^2$

现转而处理另一种更为实际的特例,设

$$T_a(z) = \frac{1}{2} - 4A^2z^2, \tag{6.1}$$

取

$$\begin{cases}
T = T_s^{(1)} + T_B, \\
T_s^{(1)} = \sum_{n=1}^{\infty} M_n \operatorname{ch}(\hat{\lambda}_n z) J_0(\hat{\lambda}_n r), \\
T_B = \frac{1}{2} \hat{g}_0 \left(z^2 - \frac{r^2}{2} \right) + \hat{g}_2.
\end{cases}$$
(6.2)

从边界条件(3.17)式,令:

$$\left(\frac{\partial T_B}{\partial r}\right)_{r=1} + L \left[T_B - \left(\frac{1}{2} - 4A^2z^2\right)\right]_{r=1} = 0, \tag{6.3}$$

$$\left(\frac{\partial T_s^{(1)}}{\partial r}\right)_{r=1} + L(T_s^{(1)})_{r=1} = 0. \tag{6.4}$$

由此推得

$$\begin{cases} \hat{g}_0 = -8A^2, \\ \hat{g}_2 = \frac{1}{2} - 4A^2 \left(\frac{1}{L} + \frac{1}{2}\right) \end{cases}$$
 (6.5)

以及

$$LJ_0(\hat{\lambda}_n) - \hat{\lambda}_n J_1(\hat{\lambda}_n) = 0. \tag{6.6}$$

对于给定的 Biot 数,由方程(6.6)可解出 $\{\lambda_n\}$ 。 在表1中我们列出了前五个值。

另一方面,为了满足端部条件(3.19)式,我们需选取合适的系数 $\{M_n\}$ 。因为,

$$(T)_{z=\pm b_0} = \frac{1}{2} - 4A^2b_0^2 = \frac{1}{2} - 4A^2b_0^2 + 4A^2\left(\frac{1}{2}^2 - \frac{1}{2} - \frac{1}{L}\right) + \sum_{n=1}^{\infty} M_n \operatorname{ch}(\hat{\lambda}_n b_0) J_0(\hat{\lambda}_n r),$$

$$(6.7)$$

以及

$$\int_{0}^{1} r J_{0}(\hat{\lambda}_{n} r) J_{0}(\hat{\lambda}_{m} r) dr = \begin{cases} 0 & (m \neq n), \\ \frac{J_{0}^{2}(\hat{\lambda}_{n})}{2\hat{\lambda}_{n}} (L^{2} + \hat{\lambda}_{n}^{2})_{(m=n)} \end{cases}$$
(6.8)

$$\int_0^1 r^{N+1} (1-r^2)^{\mu} J_N(\hat{\lambda}_n r) dr = 2^{\mu} \Gamma(\mu+1) \hat{\lambda}_n^{-(1+\mu)} J_{N+\mu+1}(\hat{\lambda}_n). \tag{6.9}$$

我们推得:

$$M_{n} = \frac{8A^{2}}{J_{0}^{2}(\hat{\lambda}_{n}) \operatorname{ch}(\hat{\lambda}_{n}b_{0})(L^{2} + \hat{\lambda}_{n}^{2})} [J_{0}(\hat{\lambda}_{n}) + J_{2}(\hat{\lambda}_{n})]_{(L \neq 0)}, \tag{6.10}$$

这样,温度分布解就完全确定了。

$$T(r,z) = \frac{1}{2} - 4A^2z^2 + 4A^2\left(\frac{r^2}{2} - \frac{1}{2} - \frac{1}{L}\right) + \sum_{n=1}^{\infty} M_n \operatorname{ch}(\hat{\lambda}_n z) J_0(\hat{\lambda}_n r). \quad (6.11)$$

下面,我们还需确定速度分布解与压力分布解,设

$$\begin{cases} f = f_B + f_a^{(1)} + f_a^{(2)}, & u = u_B + u_a^{(1)} + u_a^{(2)}, \\ w = w_B + w_a^{(1)} + w_a^{(2)}, & p = p_B + p_a^{(1)} + p_a^{(2)}, \end{cases}$$
(6.12)

其中

$$\begin{cases} u_{a}^{(1)} = -\sum_{n=1}^{\infty} \lambda_{n} J_{1}(\lambda_{n}r) [(E_{n} + \lambda_{n}D_{n}) \operatorname{ch}(\lambda_{n}z) + E_{n}\lambda_{n}z \operatorname{sh}(\lambda_{n}z)], \\ u_{a}^{(2)} = \sum_{n=1}^{\infty} \beta_{n}^{2} \cos(\beta_{n}z) [A_{n}I_{1}(\beta_{n}r) + B_{n}rI_{0}(\beta_{n}r)], \\ w_{a}^{(1)} = \sum_{n=1}^{\infty} \lambda_{n}J_{0}(\lambda_{n}r) [E_{n}z \operatorname{ch}(\lambda_{n}z) + D_{n}\operatorname{sh}(\lambda_{n}z)], \\ w_{a}^{(2)} = -\sum_{n=1}^{\infty} \beta_{n}^{2} \sin(\beta_{n}z) \left[\left(A_{n} + \frac{2B_{n}}{\beta_{n}} \right) I_{0}(\beta_{n}r) + B_{n}rI_{1}(\beta_{n}r) \right], \\ p_{a}^{(1)} + p_{a}^{(2)} = 2 \sum_{n=1}^{\infty} \left\{ \lambda_{n}^{2}E_{n}\operatorname{ch}(\lambda_{n}z)J_{0}(\lambda_{n}r) + \beta_{n}^{2}B_{n}\cos(\beta_{n}z)I_{0}(\beta_{n}r) \right\}. \end{cases}$$

$$(6.13)$$

由于边界条件(3.14),(3.20)式,我们令:

$$(u_a^{(1)})_{r=1} = (u_a^{(2)})_{r=1} = (u_a^{(1)})_{z=\pm b_0} = (u_a^{(2)})_{z=\pm b_0} = 0.$$
 (6.14)

因而,推得:

$$\begin{cases} J_{1}(\lambda_{n}) = 0, \\ \cos(\beta_{n}b_{0}) = 0, & \beta_{n} = \left(n - \frac{1}{2}\right)\frac{\pi}{b_{0}} \quad (n = 1, 2, \dots), \\ E_{n} = -\lambda_{n}D_{n}\frac{1}{1 + \lambda_{n}b_{0} \operatorname{th}(\lambda_{n}b_{0})}, \\ A_{n} = -B_{n}\frac{I_{0}(\beta_{n})}{I_{1}(\beta_{n})}. \end{cases}$$

$$(6.15)$$

由于表面条件

$$\left(\frac{\partial w}{\partial r} + \frac{\partial u}{\partial z}\right)_{r=1} = -\left(\frac{\partial T}{\partial z}\right)_{r=1},\tag{6.16}$$

得到:

$$-\frac{g_0}{2} - 2\sum_{n=1}^{\infty} \beta_n^2 B_n I_1(\beta_n) \sin(\beta_n z) = 8A^2 z - \sum_{m=1}^{\infty} M_m \hat{\lambda}_m J_0(\hat{\lambda}_m) \sinh(\hat{\lambda}_m z).$$
 (6.17)

从而推出:

$$\begin{cases} g_0 = 0, \\ B_n = \frac{-8A^2 \ln + \sum_{m=1}^{\infty} k_{mn} M_m \hat{\lambda}_m J_0(\hat{\lambda}_m)}{2\beta_n^2 I_1(\beta_n)}, \end{cases}$$
(6.18)

其中

$$\begin{cases} \ln = \frac{2}{b_0 \beta_n^2} (-1)^{n+1}, \\ k_{mn} = \frac{2(-1)^{n+1}}{b_0} \frac{\hat{\lambda}_m}{\hat{\lambda}_n^2 + \beta_n^2} \operatorname{ch}(\hat{\lambda}_m b_0). \end{cases}$$
(6.20)

最后由于端部条件 $w_0 = 0$,我们得到:

$$\sum_{n=1}^{\infty} D_{n} \lambda_{n}^{2} J_{0}(\lambda_{n} r) \left\{ \operatorname{sh}(\lambda_{n} b_{0}) - \frac{\lambda_{n} b_{0} \operatorname{ch}(\lambda_{n} b_{0})}{1 + \lambda_{n} b_{0} \operatorname{th}(\lambda_{n} b_{0})} \right\}$$

$$= h_{0} + \sum_{m=1}^{\infty} \beta_{m}^{2} (-1)^{m+1} \left\{ \left(A_{m} + \frac{2B_{m}}{\beta_{m}} \right) I_{0}(\beta_{m} r) + B_{m} r I_{1}(\beta_{m} r) \right\}. \tag{6.21}$$

由此,可解出:

$$h_0 = 0$$

$$D_{n} = \frac{2}{\lambda_{n}^{2} J_{0}^{2}(\lambda_{n})} \sum_{m=1}^{\infty} (-1)^{m+1} \beta_{m} \{ (A_{m} \beta_{m} + 2B_{m}) I_{0}(\beta_{m}) S_{1}(mn) + B_{m} \beta_{m} I_{1}(\beta_{m}) S_{2}(mn) \}$$

$$\cdot \{ \operatorname{sh}(\lambda_{n} b_{0}) - \frac{\lambda_{n} b_{0} \operatorname{ch}(\lambda_{n} b_{0})}{1 + \lambda_{n} b_{0} \operatorname{th}(\lambda_{n} b_{0})} \}^{-1},$$

$$(6.22)$$

其中

$$\begin{cases} S_{1}(m, n) = \int_{0}^{1} r J_{0}(\lambda_{n} r) \left(\frac{I_{0}(\beta_{m} r)}{I_{0}(\beta_{m})} \right) dr, \\ S_{2}(m, n) = \int_{0}^{1} r^{2} J_{1}(\lambda_{n} r) \left(\frac{I_{1}(\beta_{m} r)}{I_{1}(\beta_{m})} \right) dr. \end{cases}$$
(6.23)

至此,所有任意常数均已确定. 流函数 $\phi(r,z)$ 有如下表达式:

$$\phi(r,z) = \sum_{m=1}^{\infty} \beta_m \sin(\beta_m z) [A_m r I_1(\beta_m r) + B_m r^2 I_0(\beta_m r)]$$

$$- \sum_{m=1}^{\infty} \lambda_n r J_1(\lambda_n r) [E_n z \operatorname{ch}(\lambda_n z) + D_n \operatorname{sh}(\lambda_n z)]. \qquad (6.24)$$

在图3(a),(b)中,我们分别给出了 L=1.0, $A=b_0^{-1}$, $b_0=0.5$, 2.5 的流线分布图.

利用表面条件(3.15)式,同样可得出表面形状修正. 设 δ。 < π, 我们解出:

$$R_{1}(z) = -4A^{2}(z^{2} - b_{0}^{2}) + R_{s}(z) - R_{s}(b_{0}) + \frac{\cos z - \cos b_{0}}{b_{0}\cos b_{0} - \sin b_{0}} \cdot \left[\frac{8A^{2}}{3}b_{0}^{3} - b_{0}R_{s}(b_{0}) + \int_{0}^{b_{0}}R_{s}dz\right], \tag{6.25}$$

其中

$$R_{t}(z) = -\sum_{m=1}^{\infty} M_{m} J_{0}(\hat{\lambda}_{m}) \frac{\operatorname{ch}(\hat{\lambda}_{m}z)}{1 + \hat{\lambda}_{m}^{2}} - 2\sum_{n=1}^{\infty} \lambda_{n}^{2} J_{0}(\lambda_{n})$$

$$\cdot \left[(2E_{n} + \lambda_{n}D_{n}) \frac{\operatorname{ch}(\lambda_{n}z)}{1 + \lambda_{n}^{2}} + \lambda_{n} E\left(\frac{z \operatorname{sh}(\lambda_{n}z)}{1 + \lambda_{n}^{2}} - \frac{2\lambda_{n}^{2}}{(1 + \lambda_{n}^{2})^{2}} \operatorname{ch}(\lambda_{n}z) \right] - 2\sum_{m=1}^{\infty} \frac{\beta_{m}^{2}}{1 - \beta_{m}^{2}} \cos(\beta_{m}z) \cdot \left[A_{m}\beta_{m} I_{0}(\beta_{m}) + (B_{m}\beta_{m} - A_{m}) I_{1}(\beta_{m}) \right]. \quad (6.26)$$

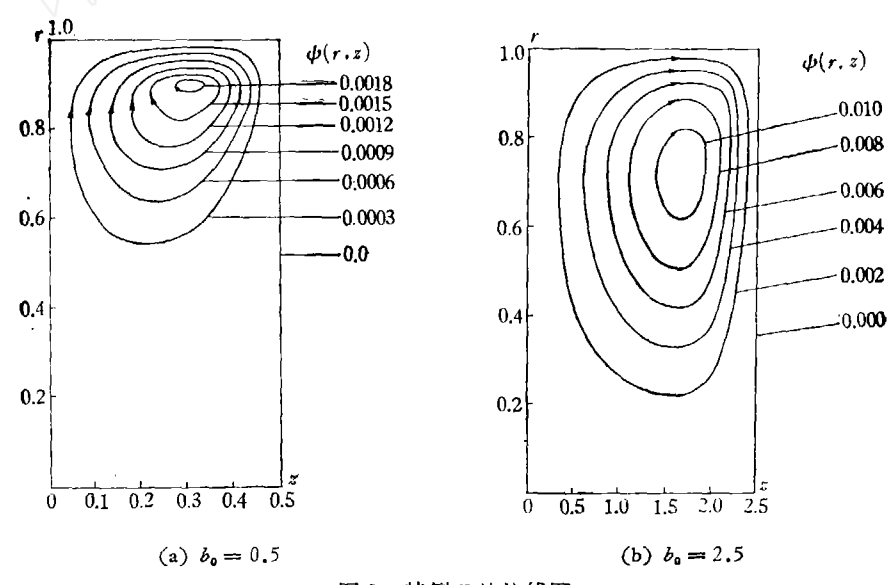


图 3 特例 II 的流线图

七、结 果 讨 论

从前面计算结果可以看出:

- 1. 由于表面张力梯度的驱动,自由表面上的熔体质点,总是从高温区流向低温区,到达端部后,由于受到固壁阻挡,将向下,向回运动,从而在熔体内部形成一个迴流.
- 2. 该迴流的特征与熔体参数 6。关系颇大,具体说来,熔体柱越短,迴流中心越接近自由表面,强度亦相应减小,这时只是紧靠自由表面的一层流体,有着明显运动,深处的流体运动则很缓慢.
- 3. 显然,熔体内部的这种由于热毛细运动形成的迴流起着一种搅拌器的作用,它总是有助于熔体内部所含物质的均化,使得原先在自由表面上的物质成份有可能进入熔体的深处.

本文是作者在美国宇航中心 (NASA) 空间材料加工计划的资助下完成的研究工作的一部分。作者对 S. H. Davis 教授的热忱支持与十分宝贵的讨论和建议表示衷心的感谢; 对曾在一个研究组的 W. W. Schulty, M. K. Smith 以及 S. Cowling 博士的有益讨论与帮助表示真挚的感谢。

作者还对美国西北大学工程科学与应用数学系 Raymond. A. Kliphart 教授和该系 Judy piehl, Imogene Anderson 和 Edld D'Herckens 等人表示感谢。

参考文献

- [1] Bénard, H., Revue Générale des Sciences Pures et Appliquées, 1900, 11: 1261-1271; 1309-1328.
- [2] Lord Rayleigh, Phil. Mag., 32(1916), 529-546.
- [3] Pearson, J. R. A., J. Fluid Mech., 4(1958), 489.
- [4] Adler, J. & Sowerby, L., ibid., 42(1970), 549.
- [5] Davis, S. H., et al., ibid., 62(1974), 737.
- [6] Yih, C. S., Phys. Fluids, 11(1968), 477.
- [7] ———, ibid., 12(1969), 1982.
- [8] Sen, A. K. & Davis, S. H., J. Fluid Mech., 121 (1982), 163
- [9] Xu Jian-Jun & Davis, S. H., Phys. Fluids, 26(1983),